



247885

การออกแบบการทดลองการเปลี่ยนขนาดของกลาสเซ็บสเตตรท  
จากการชุบแข็ง

ปีฉะ เนยคำ

วิทยาศาสตรมหาบัณฑิต  
สาขาวิชาการจัดการอุตสาหกรรม

บัณฑิตวิทยาลัย  
มหาวิทยาลัยเชียงใหม่  
พฤษภาคม 2555

60025254



247885

การออกแบบการทดลองการเปลี่ยนขนาดของกลาสชั้บสเตรท  
จากกระบวนการรุบเบ็ง

ปิยะ เนยคำ

การค้นคว้าแบบอิสระนี้เสนอต่อบัณฑิตวิทยาลัยเพื่อเป็นส่วนหนึ่ง  
ของการศึกษาตามหลักสูตรปริญญา

วิทยาศาสตรมหาบัณฑิต

สาขาวิชาการจัดการอุตสาหกรรม



บัณฑิตวิทยาลัย

มหาวิทยาลัยเชียงใหม่

พฤษภาคม 2555

การออกแบบการทดลองการเปลี่ยนขนาดของglaszappstetraท  
จากกระบวนการชุบแข็ง

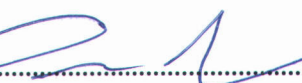
ปีะ เนยคำ

การค้นคว้าแบบอิสระนี้ได้รับการพิจารณาอนุมัติให้นับเป็นส่วนหนึ่งของการศึกษา  
ตามหลักสูตรปริญญาวิทยาศาสตรมหาบัณฑิต  
สาขาวิชาการจัดการอุตสาหกรรม

คณะกรรมการสอบการค้นคว้าแบบอิสระ

.....  
.....  
ประธานกรรมการ

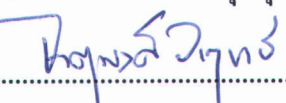
อ.ดร. วิชัย ฉัตรทินวัฒน์

.....  
.....  
กรรมการ

อ.ดร. วสันต์ นาคเขียว

.....  
.....  
กรรมการ

พศ.ดร. อรรถพล สมุทคุปต์

.....  
.....  
กรรมการ

พศ.ดร. ชาตุพงษ์ วาฤทธิ์

อาจารย์ที่ปรึกษาการค้นคว้าแบบอิสระ

.....  
.....

อ.ดร. วสันต์ นาคเขียว

.....  
.....  
กรรมการ

14 พฤษภาคม 2555

© ลิขสิทธิ์ของมหาวิทยาลัยเชียงใหม่

## กิตติกรรมประกาศ

การค้นคว้าแบบอิสระนี้สำเร็จลงได้ด้วยความกรุณาของ อ.ดร. วสวัชร นาคเขียว อาจารย์ที่ปรึกษาการค้นคว้าแบบอิสระ รศ. ดร.วิชัย พัตรพินิจฉัน ประธานกรรมการที่ปรึกษา ที่ได้เสียสละเวลาในการให้ความรู้ คำแนะนำ และคำปรึกษาที่มีประโยชน์ต่อการศึกษา อีกทั้งให้ความช่วยเหลือ และให้การสนับสนุนในทุก ๆ ด้านอย่างดีเยี่ยม รวมถึงการตรวจสอบแก้ไขข้อบกพร่องต่าง ๆ ซึ่งผู้เขียนขอพระคุณเป็นอย่างสูงไว้ ณ โอกาสหนึ่ง

ขอขอบคุณเพื่อนนักศึกษา คณาจารย์ และเจ้าหน้าที่ประจำภาควิชาศึกษาระบบทุกระดับ การมหาวิทยาลัยเชียงใหม่ทุกท่าน ที่ได้ให้คำแนะนำ และให้ความช่วยเหลือด้วยดีตลอดมา

ทั้งนี้ผู้เขียนมิสามารถประสบความสำเร็จจากการศึกษาและทำงานวิจัยครั้งนี้ได้ ถ้าไม่ได้รับ การสนับสนุนเป็นอย่างดีจากทางบริษัท โฆษณาคลาสสิกส์ประเทศไทย จำกัด ที่ได้อนุมัติให้ผู้เขียน จัดเก็บข้อมูลและใช้ข้อมูลเพื่อเขียนการค้นคว้าแบบอิสระ ตลอดจนเพื่อนร่วมงาน ผู้ใต้บังคับบัญชา ครอบครัว ที่ให้ความช่วยเหลือและเป็นกำลังใจสำคัญในการทำการค้นคว้าอิสระครั้งนี้

สุดท้ายนี้หากมีสิ่งขาดตกบกพร่องหรือผิดพลาดประการใด ผู้เขียนขออภัยเป็นอย่างสูง และหวังว่าการค้นคว้าแบบอิสระนี้คงมีประโยชน์น้ำหนักไม่นักก็น้อยสำหรับผู้ที่สนใจนำข้อมูลต่าง ๆ ไปใช้ประโยชน์ทั้งทางวิชาการและเชิงปฏิบัติต่อไป

ปิยะ เนยคำ

ชื่อเรื่องการค้นคว้าแบบอิสระ	การออกแบบการทดลองการเปลี่ยนขนาดของglas ซับสเตรทจากกระบวนการชุบแข็ง
ผู้เขียน	นายปียะ เนยคำ
ปริญญา	วิทยาศาสตรมหาบัณฑิต (การจัดการอุตสาหกรรม)
อาจารย์ที่ปรึกษาการค้นคว้าแบบอิสระ	อ. ดร. วสวัชร นาคเจีย

### บทคัดย่อ

247885

ในปัจจุบันการผลิตหาร์คิดิสค์ไครฟ์ได้ถูกผลักดันให้ลดราคาสินค้าลง เนื่องจากการเข้ามาของแผ่นเก็บข้อมูลแบบโซลิทสเตรทไครฟ์ อย่างไรก็ตามหาร์คิดิสค์ไครฟ์เองก็ยังมีจุดแข็งในเรื่อง ความคงทนและราคาที่ต่ำกว่า ทั้งนี้การลดราคาการผลิตหาร์คิดิสค์ไครฟ์ ต้องทำการลดราคาต่อหน่วยของชิ้นส่วนต่าง ๆ ตลอดโซ่อุปทาน รวมถึงglasซับสเตรทและอะลูมิเนียมซับสเตรทซึ่งเป็นส่วนประกอบหลักของหาร์คิดิสค์ไครฟ์ หนึ่งในวิธีการลดต้นทุนในการผลิตglasซับสเตรท คือ การลดปริมาณงานเสีย ซึ่งงานเสียส่วนใหญ่เกิดจากขนาดเส้นผ่านศูนย์กลางไม่ได้ตามมาตรฐานที่ถูกกำหนด โดยมีสัดส่วนของเสียอยู่ที่ 0.5X

กระบวนการที่มีสามารถเปลี่ยนแปลงขนาดเส้นผ่านศูนย์กลางได้ คือ กระบวนการเจาะ กระบวนการขัดขอน และกระบวนการชุบแข็ง ซึ่งในที่นี้ผู้วิจัยจะทำการศึกษาผลของการปัจจัยต่าง ๆ ของกระบวนการชุบแข็งประกอบด้วยอิทธิพลหลักและอิทธิพลร่วมต่อการเปลี่ยนขนาดเส้นผ่านศูนย์กลาง จากนั้นนำมาสร้างสมการพยากรณ์การเปลี่ยนแปลงโดยใช้สมการ quadratic ในการออกแบบการทดลองแบบเต็มรูป 2<sup>4</sup> ปัจจัยที่นำมาศึกษามีทั้งหมด 4 ปัจจัยคือ ตัวแปร A ตัวแปร B ตัวแปร C และตัวแปร D

จากการศึกษาพบว่าตัวแปร D และตัวแปร C จะแสดงอิทธิพลหลักต่อการเปลี่ยนแปลงขนาดเส้นผ่านศูนย์กลางของglasซับสเตรท โดยตัวแปร B และตัวแปร C จะมีอิทธิพลร่วมที่สำคัญกับตัวแปร D

จากการประยุกต์ใช้สมการพยากรณ์ของการเปลี่ยนแปลงขนาดของคลาสชั้บสเตตรทจากกระบวนการชุบแข็ง ผู้วิจัยสามารถปรับความสามารถของกระบวนการ ( $C_{pk}$ ) จาก  $0.96X$  ให้สูงขึ้นเป็น  $1.56X$  ได้ และสามารถลดงานเสียที่เกิดจากขนาดเส้นผ่านศูนย์กลางที่ไม่ผ่านมาตรฐานของลูกค้าจาก  $0.5X$  เหลือน้อยกว่า  $0.01X$

<b>Independent Study Title</b>	Experimental Design of Size Changing for Glass Substrate from Hardening Process
<b>Author</b>	Mr. Piya Noeikham
<b>Degree</b>	Master of Science (Industrial Management)
<b>Independent Study Advisor</b>	Dr. Wasawat Nakkiew

## **ABSTRACT**

247885

In the current Hard Disk Drive (HDD) market, the manufacturers were forced to drive down the cost due to the emergence of a newcomer product of Solid State Drive (SSD); however, HDD still hold some advantages of higher reliability and a lower price. In order to drive down the cost of manufacturing HDD, all of the supply chain in manufacturing of HDD components were requested to reduce the unit price including glass and aluminum substrate that are the main components of the HDD. In the manufacturing of the glass substrate, reduction of scrap part could be a mean to reduce the unit cost of production. The scrap occurred mainly when the inner diameter size of the glass substrate was deviated the tolerance of the customer requirement. Currently, the scrap ratio of the company in this study is about 0.5X.

The processes that related to the change of the inner diameter size of the glass substrate were the hole making process, the hole polishing process, and the hardening process. In this study, the change of inner diameter size due to the hardening process parameters was studied. Multiple linear regression model of the change of the inner diameter size equation was developed based on the  $2^4$  Full Factorial technique of the design of experiment (DOE). The four main factors in the hardening process were parameter A, parameter B, parameter C and parameter D.

Results of this studies showed that parameter D and parameter C were the main effects while the interaction effects between parameter B and parameter C with parameter D were also strong. The derived prediction equation of the change of inner diameter in the hardening process was used in practice and the improvement of the capability ( $C_{pk}$ ) from 0.96X to 1.56X was obtained as well as the scrap ratio was also reduced from 0.5X to less than 0.01X.

## สารบัญ

	หน้า
กิตติกรรมประกาศ	๑
บทคัดย่อภาษาไทย	๓
บทคัดย่อภาษาอังกฤษ	๘
สารบัญ	๙
สารบัญตาราง	๑๒
สารบัญภาพ	๑๔
<b>บทที่ 1 บทนำ</b>	<b>๑</b>
1.1 ที่มาและความสำคัญของปัญหา	๑
1.2 วัตถุประสงค์ของการศึกษา	๖
1.3 ประโยชน์ที่คาดว่าจะได้รับจากการศึกษา	๖
1.4 ขอบเขตของการศึกษา	๖
<b>บทที่ 2 กรอบแนวคิดทางทฤษฎีและเอกสารที่เกี่ยวข้อง</b>	<b>๘</b>
2.1 การขยายตัวของเก้าจากกระบวนการชุมแข็ง	๘
2.2 การออกแบบการทดลอง	๑๐
2.3 การทดสอบสมมติฐาน (Hypothesis testing)	๑๑
2.4 การวิเคราะห์การทดลองโดยเชิงเส้นอย่างง่าย (Simple Linear Regression Analysis)	๑๓
2.5 การวิเคราะห์การทดลองโดยเชิงพหุ (Multiple Linear Regression Analysis)	๑๖

2.6 การออกแบบการทดลองแฟคทอเรียล (Factorial Experiment)	17
2.7 เอกสารและงานวิจัยที่เกี่ยวข้อง	18
<b>บทที่ 3 ระเบียบวิธีวิจัยและแผนดำเนินงานค้นคว้า</b>	<b>27</b>
3.1 คัดเลือกปัจจัยของกระบวนการชุมนุม	28
3.2 ออกแบบการทดลองแบบแฟคตอเรียลเต็มรูป $2^4$	29
3.3 ทำการทดลองตามเงื่อนไขที่กำหนดแบบสุ่ม	31
3.4 ตรวจสอบอิทธิพลของปัจจัยหลัก และอันตรกิริยาของแต่ละปัจจัยร่วม	32
3.5 วิเคราะห์ผลการทดลองจากการออกแบบการทดลองแบบแฟคตอเรียล	32
3.6 ตรวจสอบอิทธิพลของตัวแปรหลักแต่ละตัว และอันตรกิริยาของแต่ละปัจจัยร่วม	33
3.7 สร้างสมการทด榈อยท้ายสุดแบบหลายตัวแปร (Final Multiple Regression Model)	33
3.8 พยากรณ์การเปลี่ยนแปลงขนาดเส้นผ่านศูนย์กลางของชั้นสเตรทจากสมการทด榈อย	34
<b>บทที่ 4 ผลการศึกษาและการวิเคราะห์ข้อมูล</b>	<b>35</b>
4.1 คัดเลือกปัจจัยของกระบวนการชุมนุม	35
4.2 ออกแบบการทดลองแบบแฟคตอเรียลเต็มรูป $2^4$	42
4.3 ทำการทดลองตามเงื่อนไขที่กำหนดแบบสุ่ม	44
4.4 ตรวจสอบอิทธิพลของปัจจัยหลัก และอันตรกิริยาของแต่ละปัจจัยร่วม	45

4.5 วิเคราะห์ผลการทดลองจากการออกแบบการทดลองแบบแฟกตอรีล	48
4.6 ตรวจสอบอิทธิพลของตัวแปรหลักแต่ละตัว และอันตรรศิยาของ แต่ละปัจจัยร่วม	49
4.7 สร้างสมการถดถอยท้ายสุดแบบหลายตัวแปร (Final Multiple Regression Model)	61
4.8 พยากรณ์การเปลี่ยนแปลงขนาดเส้นผ่านศูนย์กลางของขับสตรท จากสมการถดถอย	67
<b>บทที่ 5 สรุป อกิจรายผล และข้อเสนอแนะ</b>	<b>76</b>
5.1 สรุปผลการคัดเลือกปัจจัยการชุม	76
5.2 สรุปและวิเคราะห์ผลการออกแบบการทดลองแบบเด็มรูป <sup>2<sup>4</sup></sup>	76
5.3 สมการพยากรณ์ที่ได้จากการทดลอง	77
5.4 สรุปปริมาณการขยายตัวเส้นผ่านศูนย์กลางตลอดช่วงอายุการใช้งาน	78
5.5 สรุปผลจากการประยุกต์ใช้ในการกระบวนการ	78
5.6 อุปสรรคและข้อเสนอแนะ	78
<b>บรรณานุกรม</b>	<b>79</b>
<b>ภาคผนวก</b>	<b>82</b>
<b>ประวัติผู้เขียน</b>	<b>87</b>

## สารบัญตาราง

ตาราง	หน้า
2.1 สัดส่วนของสารประกอบที่อยู่ในแก้วแบบบร็อกแวร์	19
2.2 ค่าเฉลี่ยของสารประกอบที่ใช้ผลิตแก้ว	19
2.3 สรุปความหนาของชั้นผิวที่เวลาการแยกเปลี่ยนต่าง ๆ	23
3.1 แสดงเงื่อนไขทั้งหมดในการทดลองแบบแพคตอเรียลเติ่มรูป $2^4$ แบบสุ่ม	30
4.1 แสดงเงื่อนไขทั้งหมดในการทดลองแบบแพคตอเรียลเติ่มรูป $2^4$ แบบสุ่ม	43
4.2 แสดงค่าเฉลี่ยของการเปลี่ยนแปลงเส้นผ่านศูนย์กลางซับสเตรทจากแต่ละ เงื่อนไขการทดลอง	45
4.3 ค่าปรับตั้งจริงของแต่ละปัจจัย	64
4.4 แสดงผลการปริมาณการขยายตัวของเส้นผ่านศูนย์กลางที่ได้จากการ ทดลองจริง (หน่วยเป็น มิลลิเมตร)	64
4.5 ค่าปรับตั้งแต่ละปัจจัยลดช่วงอายุการใช้งาน	68
4.6 ปริมาณการเปลี่ยนแปลงขนาดของซับสเตรทที่ค่าต่ำสุดและสูงสุด	70
ของตัวแปร D	

## สารบัญภาพ

หัวข้อ	หน้า
1.1 อัตราการเพิ่มขึ้นของขนาดความจุ	1
1.2 การบันทึกข้อมูลในสาร์คดิสก์ไดร์ฟแบบ LMR vs PMR	2
1.3 ความหนาแน่นของข้อมูลต่อพื้นที่	2
1.4 กราฟแสดงราคาของสาร์คดิสก์ไดร์ฟที่ลดลง	3
1.5 กราฟแสดงอัตราส่วนงานเสียจากเส้นผ่านศูนย์กลาง	4
1.6 แผนภาพแสดงวิธีการปรับปรุงกระบวนการแบบปกติ	5
1.7 แผนภาพแสดงการปรับปรุงกระบวนการในการวิจัยครั้งนี้	6
2.1 แสดงส่วนผสมของเกลือและสารเคมีในกระบวนการชุบ	9
2.2 แสดงการขยายตัวของกลาสชั้นสเตรทจากการแลกเปลี่ยนไออกอน ในกระบวนการชุบ	9
2.3 แบบจำลองทั่วไปของกระบวนการ	10
2.4 การกระจายของข้อมูลและเส้นกราฟทดสอบ	13
2.5 สมการเส้นตรงของการทดสอบ	14
2.6 สมการเส้นตรงของการทดสอบเมื่อค่า $b$ มีค่าต่าง ๆ กัน	15
2.7 กราฟแสดงความสัมพันธ์ระหว่างการเพิ่มขึ้นของน้ำหนักกับการใช้ สารเคมีที่ความร้อนสูง	20

2.8 ภาพแสดงการเปลี่ยนแปลงขนาดของแก้วเนื่องจากการเพิ่มอุณหภูมิ ในการชุบ	20
2.9 การกระจายความเข้มข้นของ Na , Si และ K ณ ความลึกต่าง ๆ ของแก้ว มูลฐาน	21
2.10 การกระจายความเข้มข้นของ Na , Si และ K ณ ความลึกต่าง ๆ ของแก้ว ที่ผ่านการแยกเปลี่ยนไอออน	22
2.11 ความหนาของชั้นของการแยกเปลี่ยนไอออนแปรผันตามเวลา	23
2.12 รูปแบบของความเครียดที่เกิดจากการแยกเปลี่ยนไอออน	24
2.13 รูปแบบของความเครียดที่ได้จากการถ่ายภาพโพลาไรซ์	24
3.1 ระบบเทียนเคียง เครื่องวัดขนาดเส้นผ่านศูนย์กลางซับสเตรท	31
3.2 ภาพเทียนเคียง เครื่องวัดขนาดเส้นผ่านศูนย์กลางซับสเตรท	31
4.1 Residual plot ของการตรวจสอบสมมติฐานว่าตัวแปร C มีผลต่อ <sup>การเปลี่ยนแปลงขนาดของกลาสซับสเตรทหรือไม่โดยใช้ ANOVA</sup>	36
4.2 ผลการตรวจสอบสมมติฐานว่าตัวแปร C มีผลต่อการเปลี่ยนแปลงขนาด ของกลาสซับสเตรทหรือไม่โดยใช้ ANOVA	37
4.3 Residual plot ของการตรวจสอบสมมติฐานว่าตัวแปร B มีผลต่อ <sup>การเปลี่ยนแปลงขนาดของกลาสซับสเตรทหรือไม่โดยใช้ ANOVA</sup>	38
4.4 ผลการตรวจสอบสมมติฐานว่าตัวแปร B มีผลต่อการเปลี่ยนแปลงขนาด ของกลาสซับสเตรทหรือไม่โดยใช้ ANOVA	39
4.5 Residual plot ของการตรวจสอบสมมติฐานว่าตัวแปร D มีผลต่อการเปลี่ยนแปลงขนาดของกลาสซับสเตรทหรือไม่โดยใช้ ANOVA	40

4.6 การตรวจสอบสมมติฐานว่าตัวแปร D มีผลต่อการเปลี่ยนแปลง	41
<b>ขนาดของกลาสซับสเตรทหรือไม่โดยใช้ ANOVA</b>	
4.7 ภาพเทียบเคียง เครื่องวัดขนาดเส้นผ่านศูนย์กลางชับสเตรท	44
4.8 กราฟแสดง Main Effect Plot ค่าเฉลี่ยของการเปลี่ยนแปลงขนาดชับสเตรท	46
4.9 กราฟแสดงอันตราร่วมของแต่ละปัจจัย	47
4.10 ระดับอิทธิพลและค่าสัมประสิทธิ์ของแต่ละปัจจัยหลักและปัจจัยร่วม	48
4.11 การวิเคราะห์ความแปรปรวนของค่าเฉลี่ยของการเปลี่ยนแปลงของขนาดเส้นผ่านศูนย์กลางชับสเตรท	49
4.12 แผนภาพพาร์โต้ แสดงนัยยะของแต่ละปัจจัยหลักและปัจจัยร่วม	50
4.13 แผนภาพพาร์โต้ แสดงนัยยะของแต่ละปัจจัยหลักและปัจจัยร่วม	51
<b>หลังจากตัดปัจจัยร่วมระหว่าง ABCD ออก</b>	
4.14 ระดับอิทธิพลและค่าสัมประสิทธิ์ของแต่ละปัจจัยหลักและปัจจัยร่วม	52
<b>หลังจากตัดปัจจัยร่วมระหว่าง ABCD ออก</b>	
4.15 การวิเคราะห์ความแปรปรวนของค่าเฉลี่ยของการเปลี่ยนแปลงของขนาดเส้นผ่านศูนย์กลางชับสเตรทหลังจากตัดปัจจัยร่วมระหว่าง ABCD ออก	52
4.16 แผนภาพพาร์โต้ แสดงนัยยะของแต่ละปัจจัยหลักและปัจจัยร่วมหลังจากตัดปัจจัยร่วมระหว่าง ABCD ออก	53
<b>หลังจากตัดปัจจัยร่วมระหว่าง ABD ออก</b>	
4.17 ระดับอิทธิพลและค่าสัมประสิทธิ์ของแต่ละปัจจัยหลักและปัจจัยร่วม	54
<b>หลังจากตัดปัจจัยร่วมระหว่าง ABD ออก</b>	
4.18 การวิเคราะห์ความแปรปรวนของค่าเฉลี่ยของการเปลี่ยนแปลงของขนาดเส้นผ่านศูนย์กลางชับสเตรทหลังจากตัดปัจจัยร่วมระหว่าง ABD ออก	54

4.19 แผนภาพพารอต์แสดงนัยยะของแต่ละปัจจัยหลักและปัจจัยร่วมหลังจากตัดปัจจัยร่วมระหว่าง BC ออก	55
4.20 ระดับอิทธิพลและค่าสัมประสิทธิ์ของแต่ละปัจจัยหลักและปัจจัยร่วมหลังจากตัดปัจจัยร่วมระหว่าง BC ออก	56
4.21 การวิเคราะห์ความแปรปรวนของค่าเฉลี่ยของการเปลี่ยนแปลงของขนาดเส้นผ่านศูนย์กลางชั้นสเตรทหลังจากตัดปัจจัยร่วมระหว่าง BC ออก	56
4.22 แผนภาพพารอต์แสดงนัยยะของแต่ละปัจจัยหลักและปัจจัยร่วมหลังจากตัดปัจจัยร่วมระหว่าง AB ออก	57
4.23 ระดับอิทธิพลและค่าสัมประสิทธิ์ของแต่ละปัจจัยหลักและปัจจัยร่วมหลังจากตัดปัจจัยร่วมระหว่าง AB ออก	58
4.24 การวิเคราะห์ความแปรปรวนของค่าเฉลี่ยของการเปลี่ยนแปลงของขนาดเส้นผ่านศูนย์กลางชั้นสเตรทหลังจากตัดปัจจัยร่วมระหว่าง AB ออก	58
4.25 ระดับมาตรฐานอิทธิพลของแต่ละปัจจัย	60
4.26 ระดับมาตรฐานอิทธิพลสมบูรณ์ของแต่ละปัจจัย	60
4.27 ระดับอิทธิพลและค่าสัมประสิทธิ์ของแต่ละปัจจัยหลักและปัจจัยร่วมท้ายสุด	61
4.28 ผลของ Respond optimizer ที่จุดกึ่งกลางของแต่ละปัจจัยหลักจากโปรแกรม Minitab	63
4.29 การกระจายข้อมูลแบบปกติของปริมาณการขยายตัวที่ได้จากการทดลองจริงที่จุดกึ่งกลางของแต่ละปัจจัย	67
4.30 ผลการตรวจสอบสมมติฐานแบบ one sample t	67
4.31 ปริมาณการเปลี่ยนขนาดชั้นสเตรทที่ค่าปรับตั้งตัวเปรียกต่อตัวที่ได้จากการทดลองจริงที่จุดกึ่งกลางของแต่ละปัจจัย	69

4.32 ปริมาณการเปลี่ยนขนาดชั้บสเตรทที่ค่าปรับตั้งตัวแปร D ที่ค่าสูงสุดด้วย respond optimizer	70
4.33 ตัวอย่างระบบการติดตามผลขนาดชั้บสเตรทแบบเรียลไทม์	71
4.34 ตัวอย่างระบบการติดตามผลขนาดชั้บสเตรทแบบเรียลไทม์	72
4.35 ตัวอย่างระบบการติดตามผลขนาดชั้บสเตรทแบบเรียลไทม์	72
4.36 เปรียบเทียบระบบการควบคุมแบบดึงเดิน กับระบบการควบคุมแบบใหม่	73
4.37 ความสามารถของกระบวนการ ( $C_{pk}$ ) ก่อนและหลังปรับปรุงกระบวนการ	74
4.38 ความสามารถของกระบวนการ ( $C_{pk}$ ) ก่อนและหลังปรับปรุงกระบวนการ	74
4.39 อัตราส่วนงานเสียจากขนาดชั้บสเตรทที่ไม่เป็นไปตามค่ามาตรฐานการส่งออก ก่อนและหลังปรับปรุงกระบวนการ	75